

# Alimentação remota de circuitos implantados por meio de acoplamento indutivo

**Fernando Rangel de Sousa**



# Quem somos

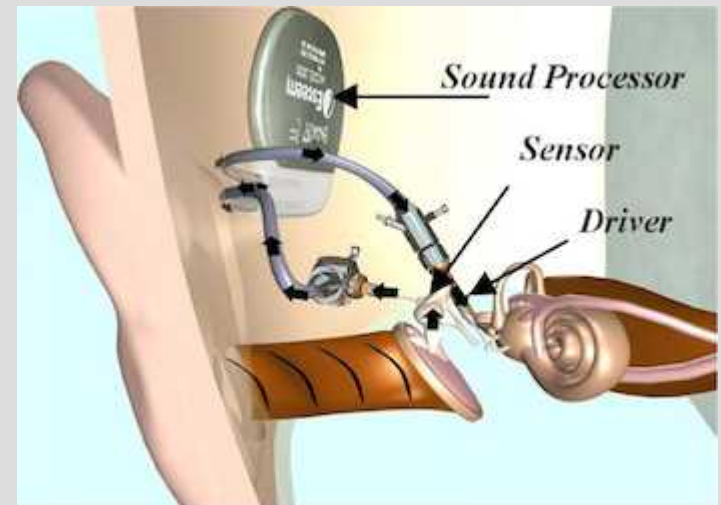
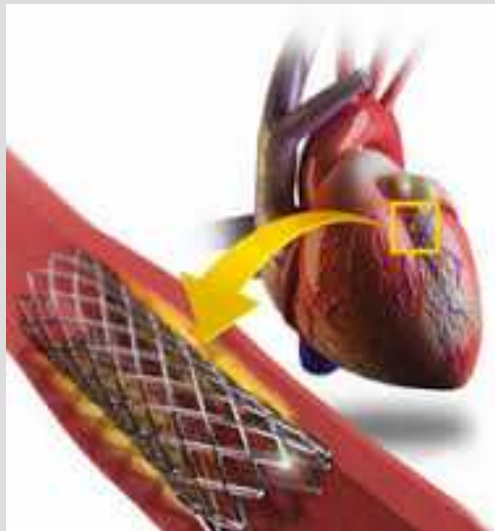


# O que fazemos

- Pesquisa em Radiofrequência
- Temas multidisciplinares / transversais
  - Petróleo/gás
  - Zootecnia
  - Biomédica
  - Instrumentação e medição
  - ...
- Ferramentas (meio)
  - Microeletrônica (projetamos chips)
  - Instrumentação (com e sem fio)
  - SDI (Instrumentação + SDR)
  - Simulação eletromagnética
- Medimos o que fazemos

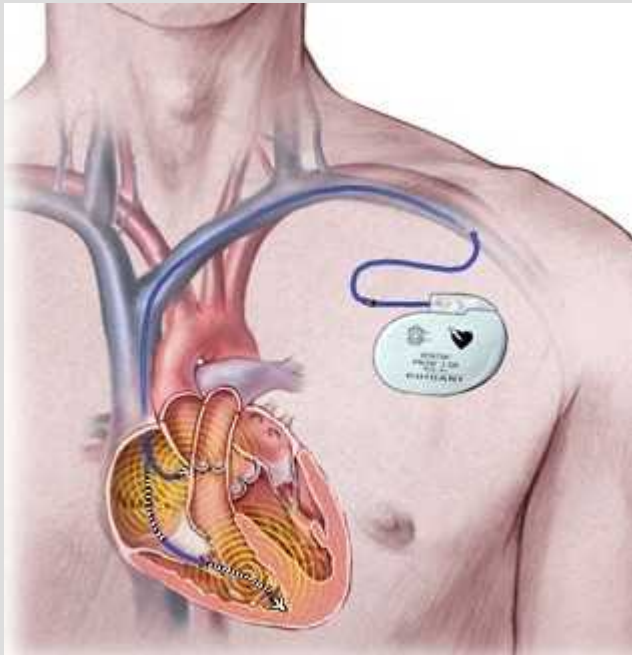
# Implantes médicos

- Um implante pode ser um dispositivo médico desenvolvido para substituir ou dar suporte a uma estrutura biológica danificada, monitorar sinais fisiológicos, prover estímulos, administrar medicamentos localmente, recuperar funções sensoriais, etc.



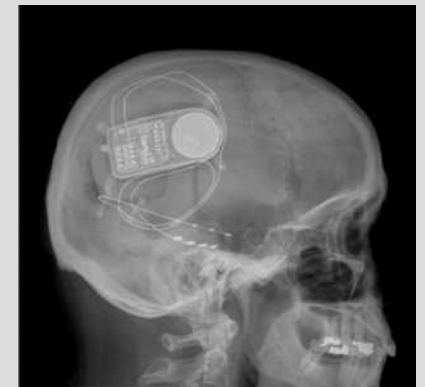
# Implantes eletrônicos

## ▣ Marcapassos

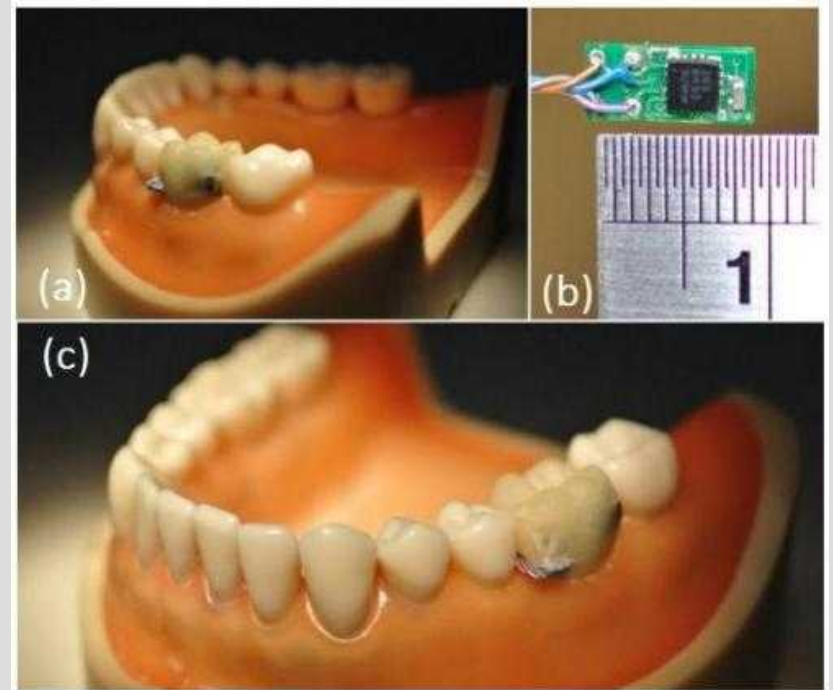
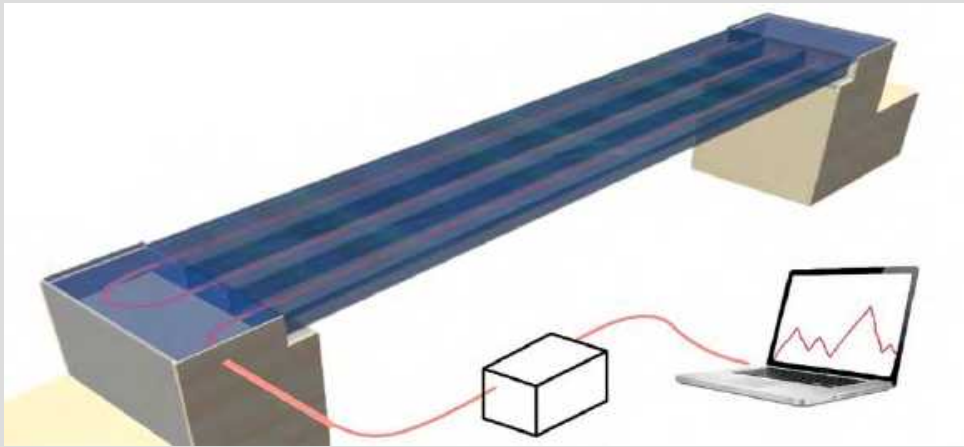


# Implantes eletrônicos

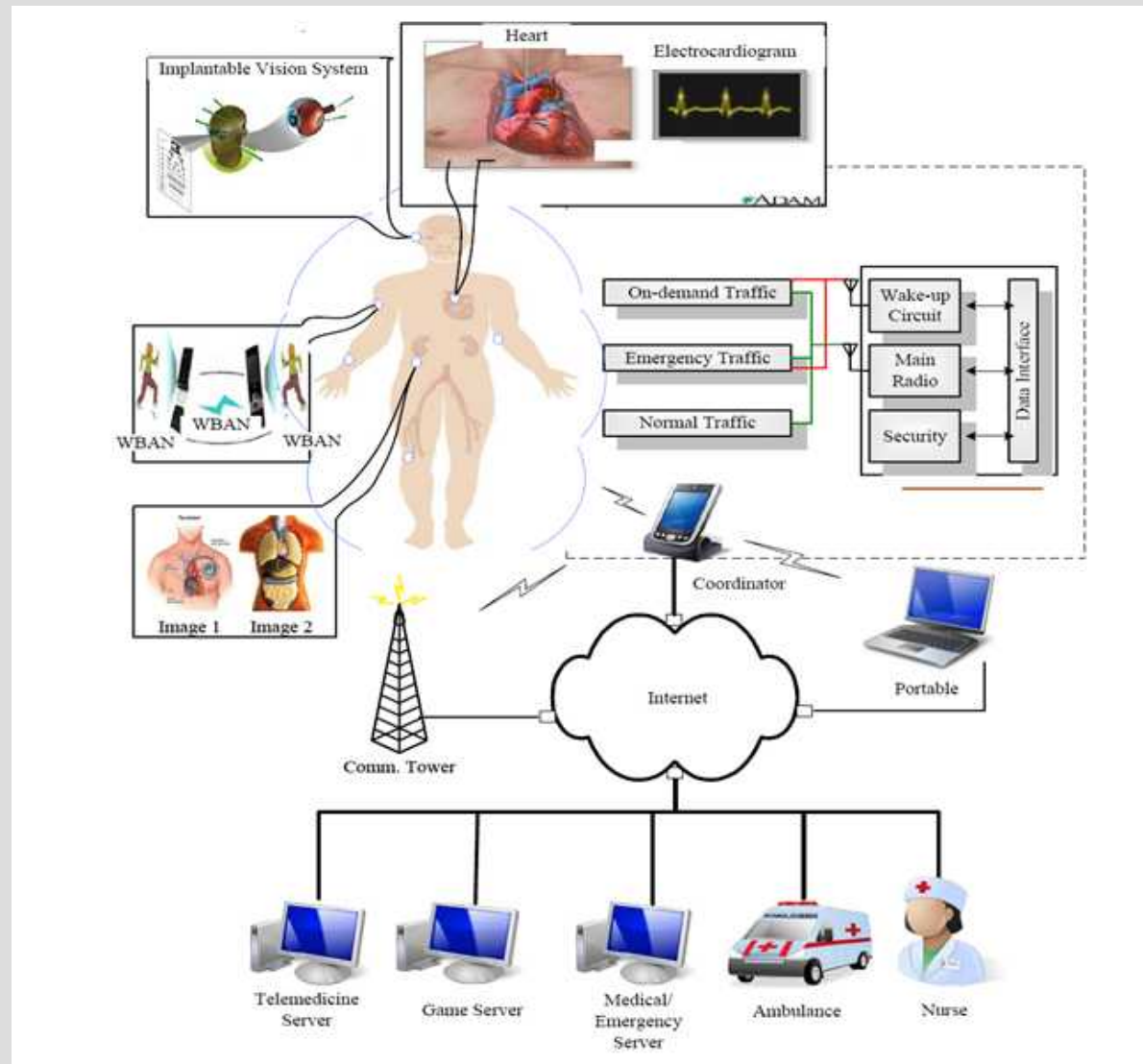
## Neuroestimuladores



# Outros implantes



# Redes corporais (WBAN)

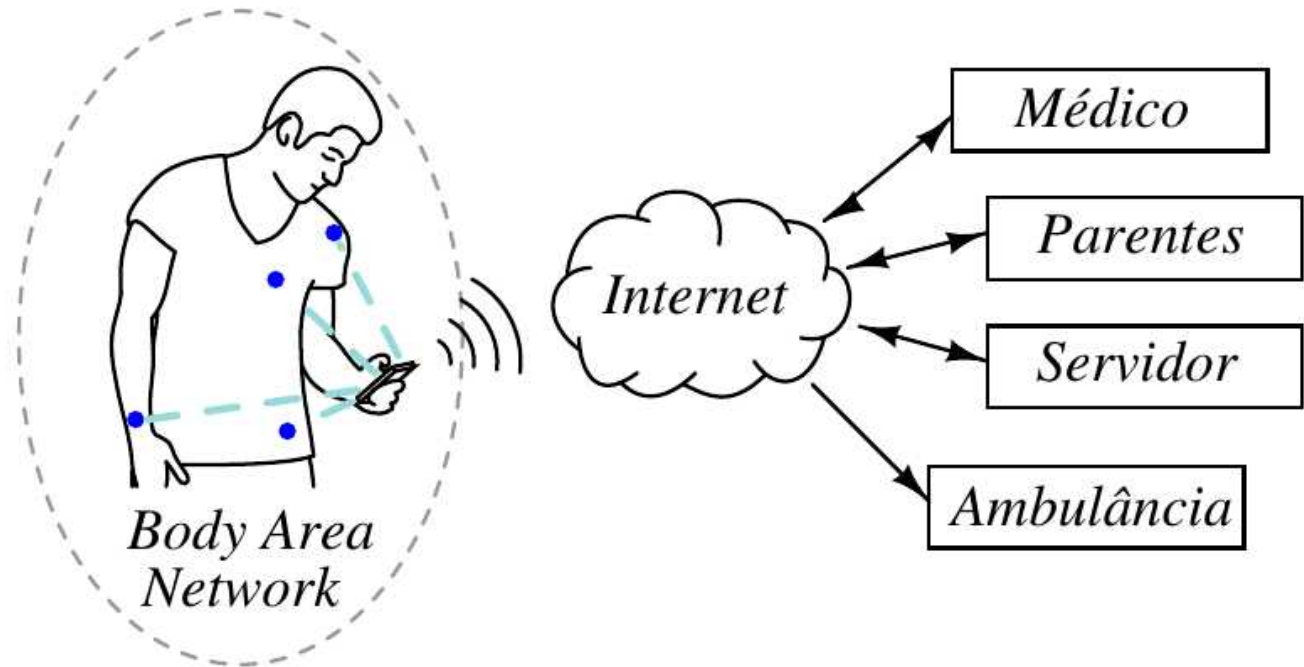




# IoT

- *Sensores vestidos ou implantados:*

- *Temperatura*
- *Ritmo cardíaco*
- *Pressão arterial*
- *Glicose*
- *Movimento*
- *Respiração*



# Eletrônica Invisível (IoT)

Achieving Optimal Efficiency in Energy Transfer to a CMOS Fully-Integrated Wireless Power Receiver

Fabian L. Cabrera and F. Rangel de Sousa, *Senior Member, IEEE*

**I**N the near future billions of devices will be interconnected, enabled by the Internet of Things (IoT) [1]. Several applications are envisaged in different domains including transportation, agriculture, smart homes and healthcare [2]. The transition from idea to reality depends on addressing problems which remain unsolved. As stated in the visionary paper by Mark Weiser [3], *“the most profound technologies are those that disappear”*, however, the physical size as well as the cables used to deliver energy to current IoT-enabled devices are not compatible with the ongoing paradigm shift.



Mark Weiser

# Realidade: Eletrônica Visível !

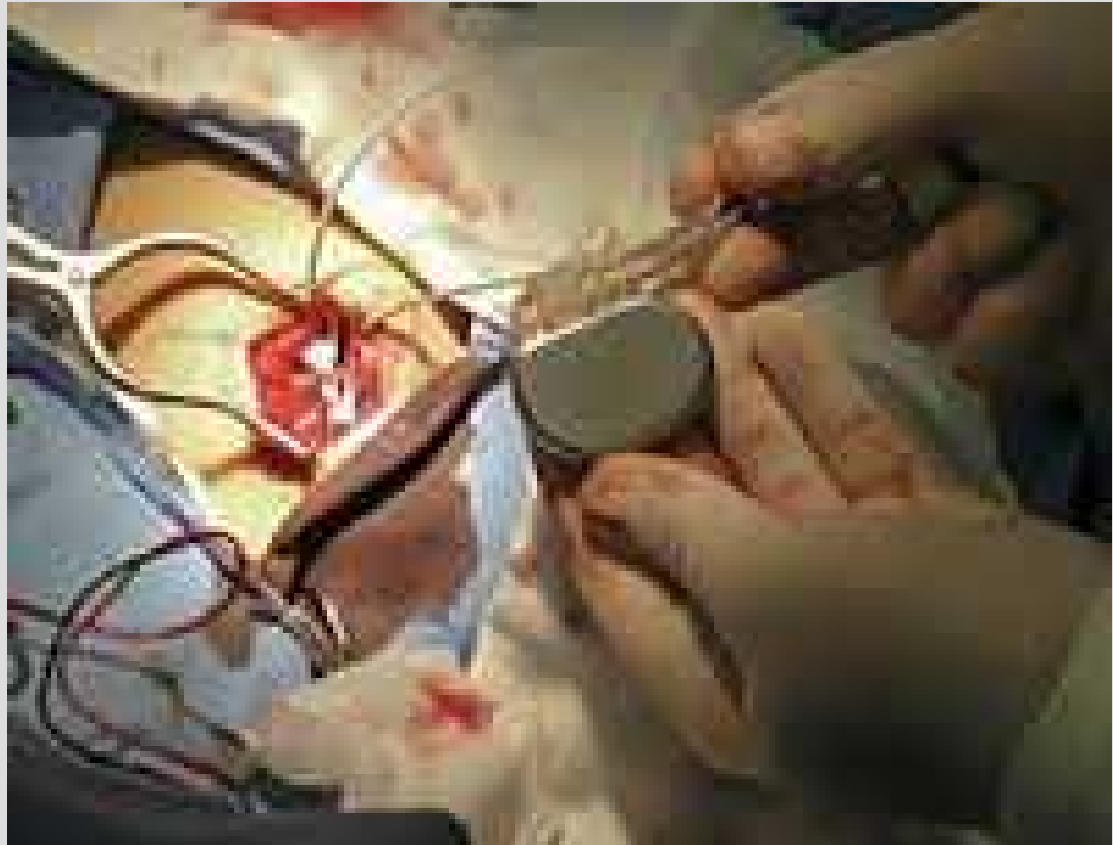


# Alimentação de implantes

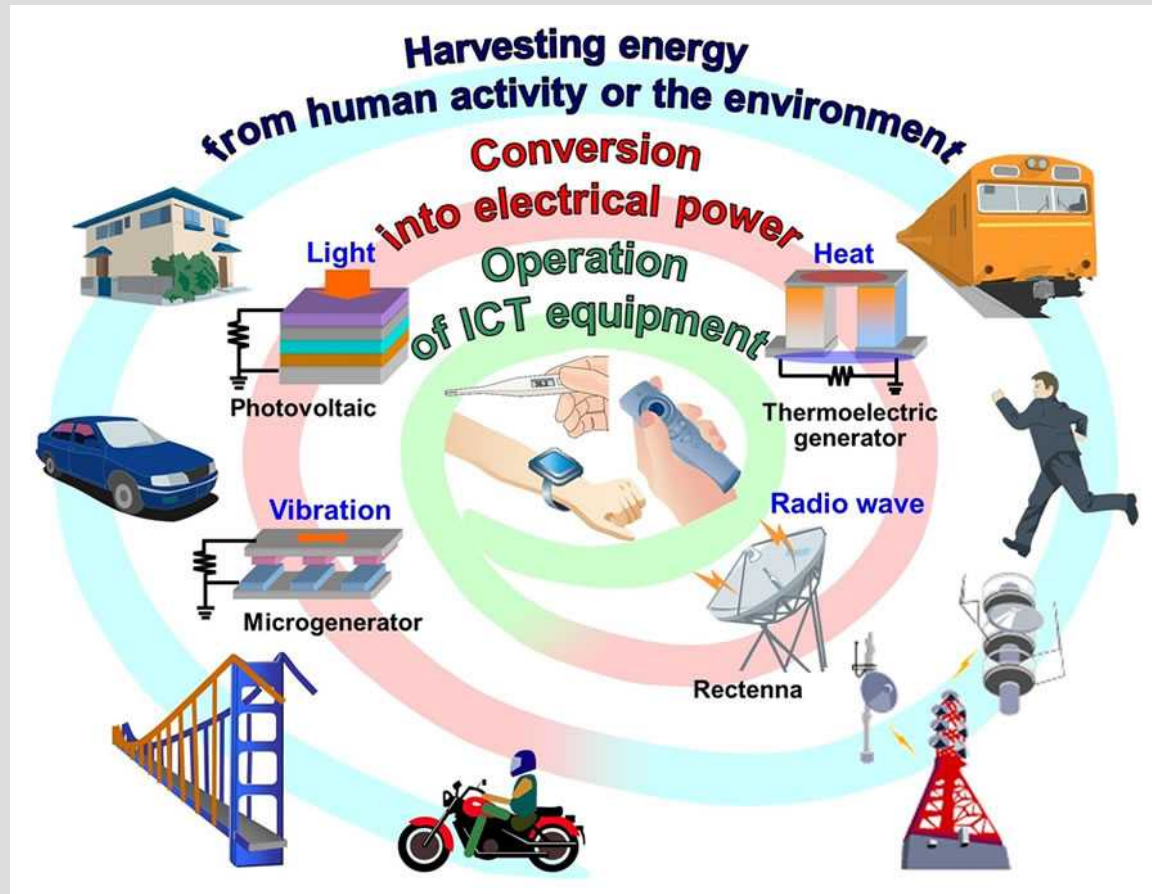
Baterias



Troca de baterias!



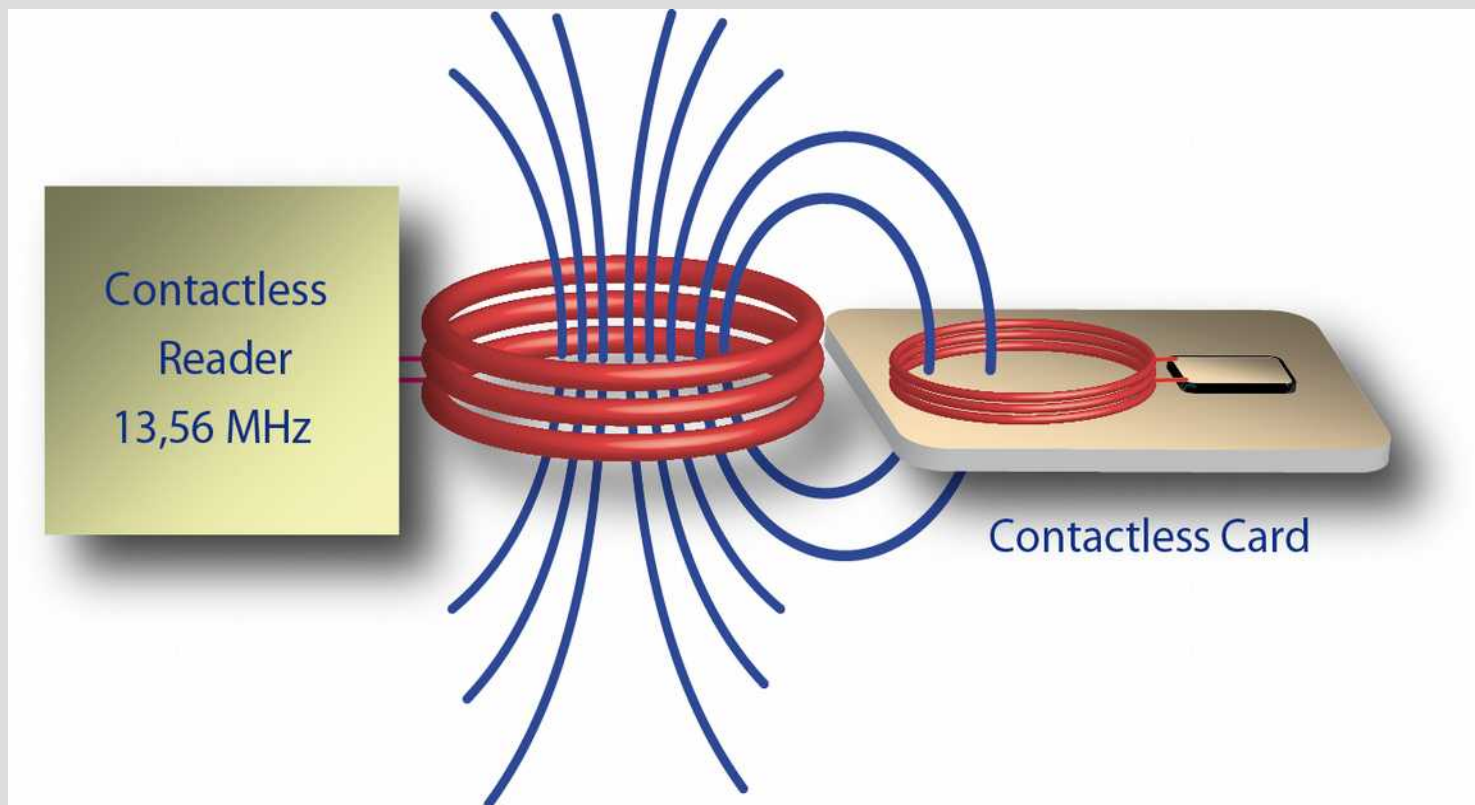
# Alternativas: Energy Harvesting



Há diversas formas de energia disponíveis .  
O desafio é captá-las com eficiência

# Acoplamento indutivo

Implementado com sucesso em  
RFID, smartcards, etc.

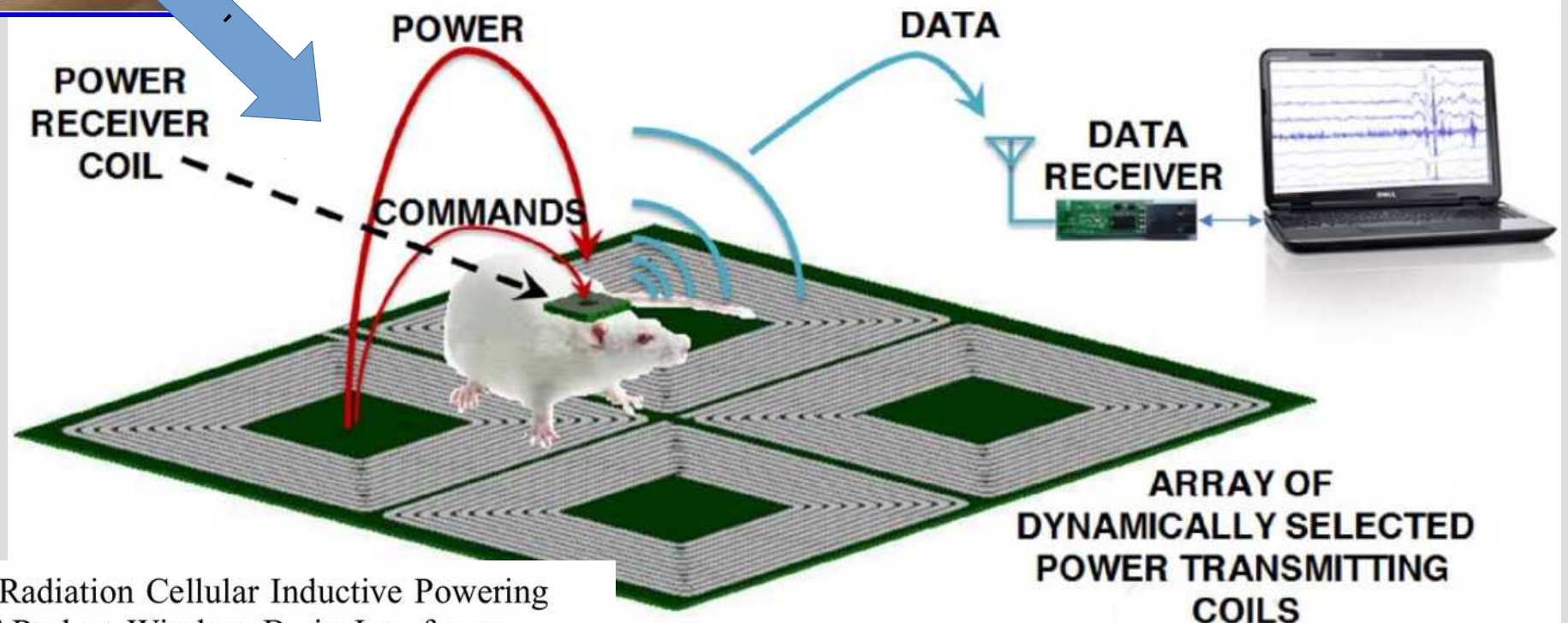


Baseia-se no uso de um transformador com núcleo de ar

# Acoplamentos indutivos em aplicações biomédicas

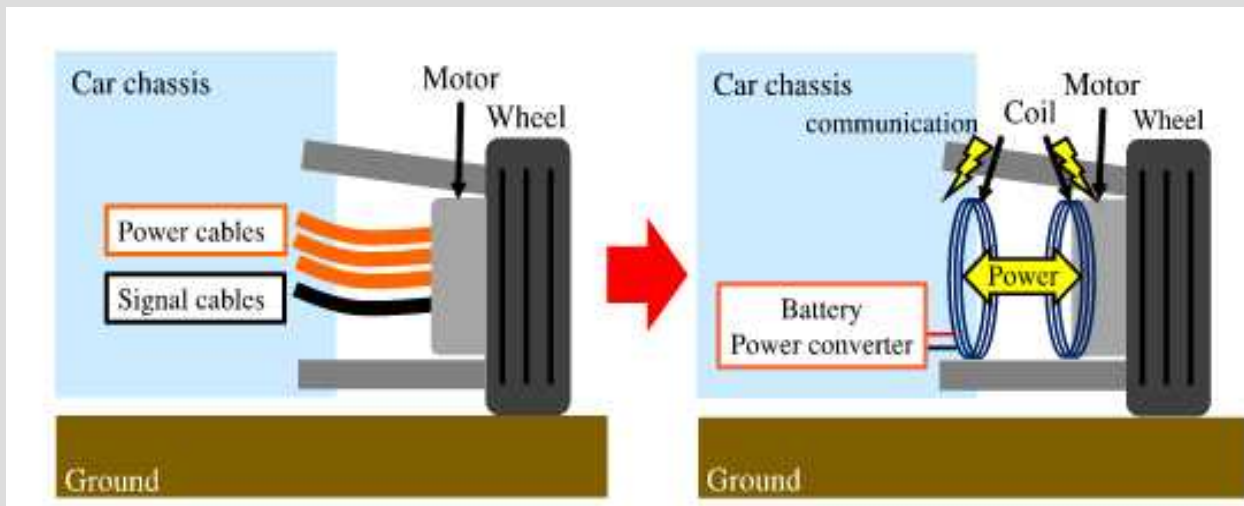


Ao retirar os cabos, permite reduzir interferência em experimentos



Low-Radiation Cellular Inductive Powering of Rodent Wireless Brain Interfaces: Methodology and Design Guide

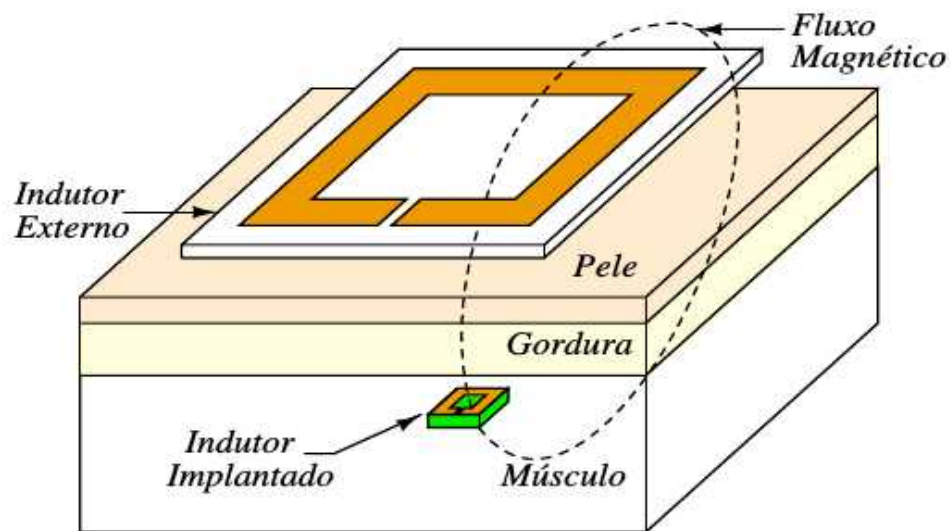
# Acoplamentos indutivos em carros elétricos



## Development of Wireless In-Wheel Motor Using Magnetic Resonance Coupling

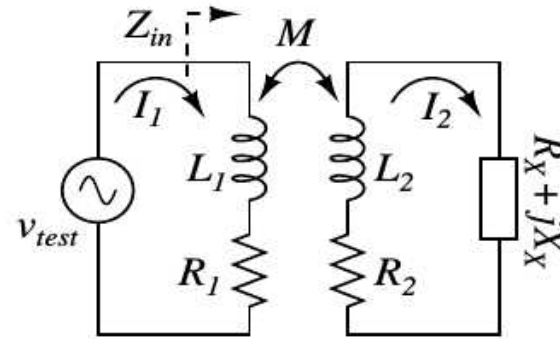
Motoki Sato, *Member, IEEE*, Gaku Yamamoto, Daisuke Gunji, *Member, IEEE*, Takehiro Imura, *Member, IEEE*, and Hiroshi Fujimoto, *Senior Member, IEEE*

# Formulação do problema do acoplamento indutivo para implantes



- ▶ Máxima potência é limitada pelo aquecimento dos tecidos.
- ▶ Eficiência deve ser otimizada.
- ▶ O indutor secundário deve ser miniaturizado.
- ▶ Restrição na área do primário é mais flexível.

# Eficiência na transferência de Energia



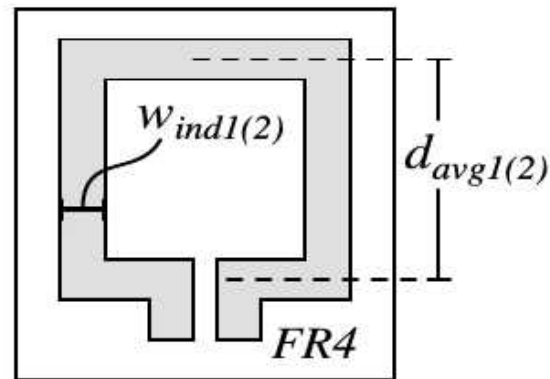
$$M = k\sqrt{L_1 L_2}$$
$$Q_1 = \omega L_1 / R_1$$
$$Q_2 = \omega L_2 / R_2$$
$$p = R_2 / R_X$$

## Eficiência

$$\frac{1}{\eta} = \frac{1}{k^2} \cdot \frac{1}{Q_1} \cdot \frac{1}{Q_2} \cdot \underbrace{\left( p + 2 + \frac{1}{p} \right) + p + 1}$$

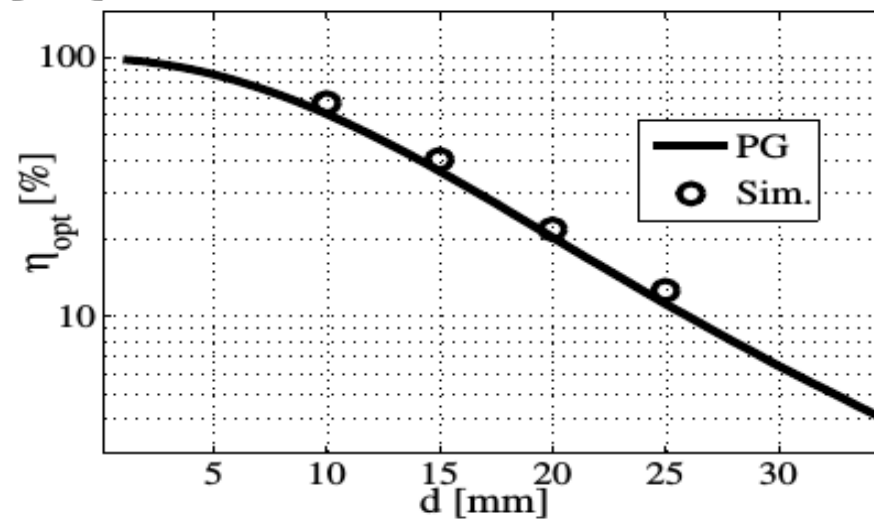
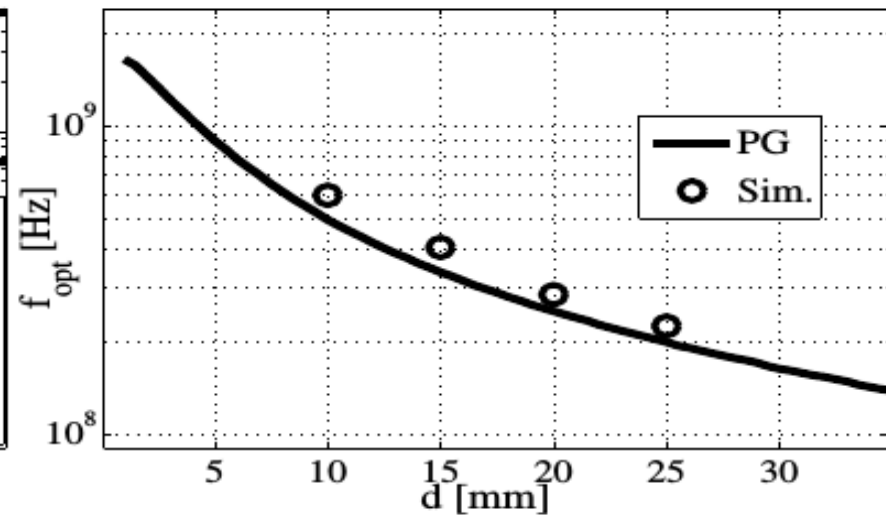
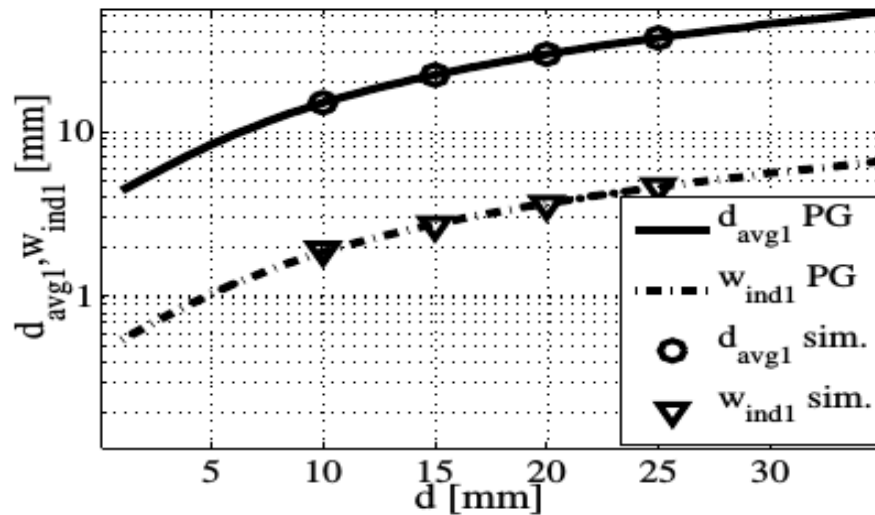
- ▶ Fator de acoplamento
- ▶ Fator de qualidade 1
- ▶ Fator de qualidade 2
- ▶ Dependência com a carga

# Otimização do indutor



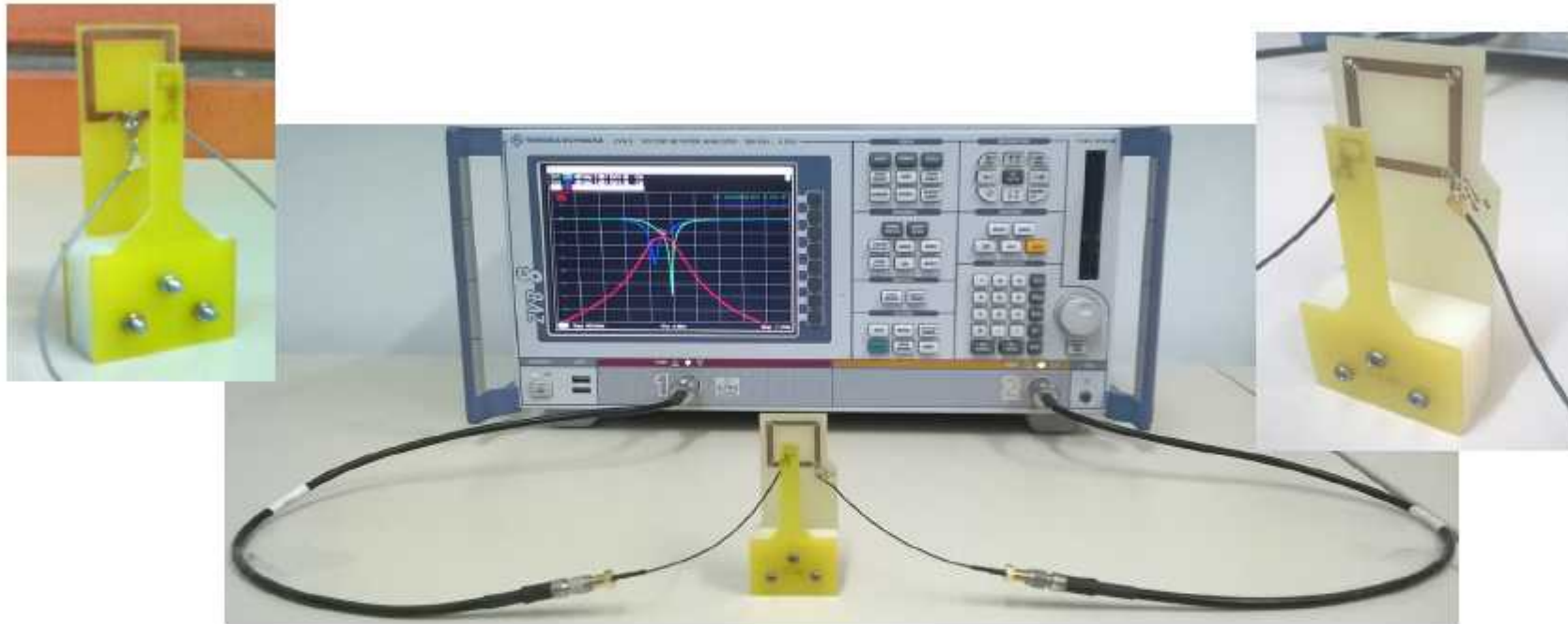
Dados:	O tamanho do indutor implantado A distância entre os indutores	$d_{avg2}, w_{ind2}$ $d$
Encontrar:	O tamanho do indutor externo A proporção da carga A frequência	$d_{avg1}, w_{ind1}$ $p$ $f$
Para:	maximizar a eficiência	$\eta$

# Resultados da otimização



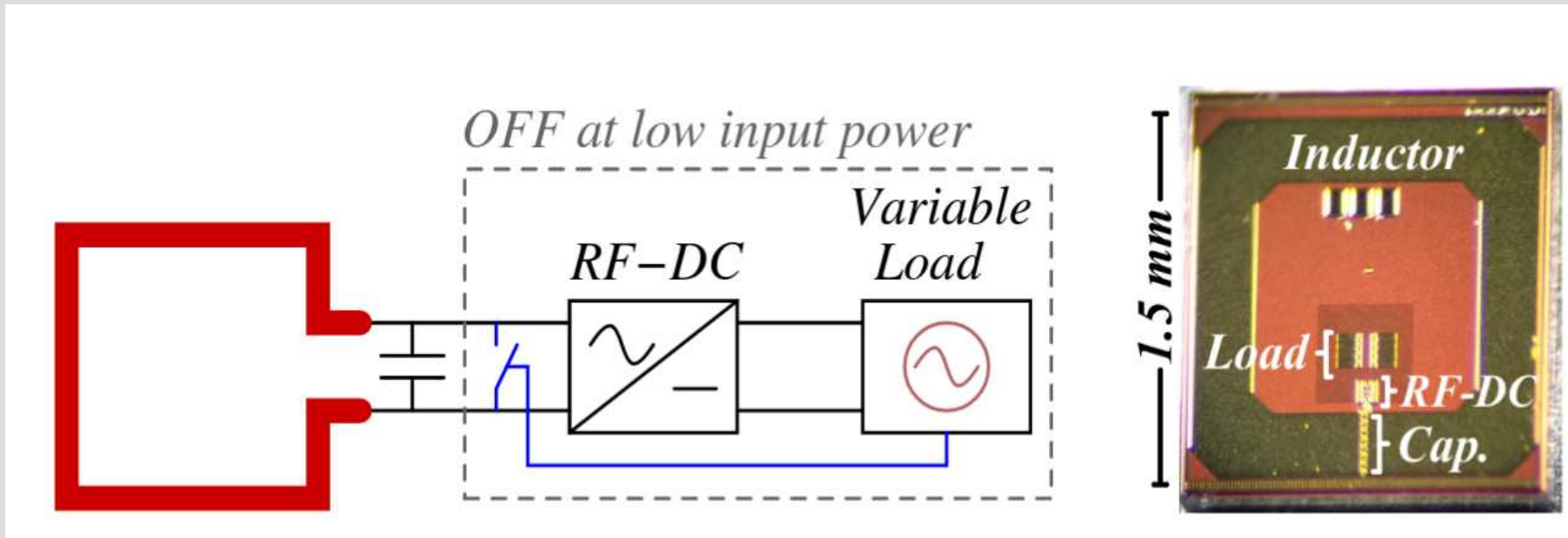
Indutor interno de 4 mm.

# Verificação experimental

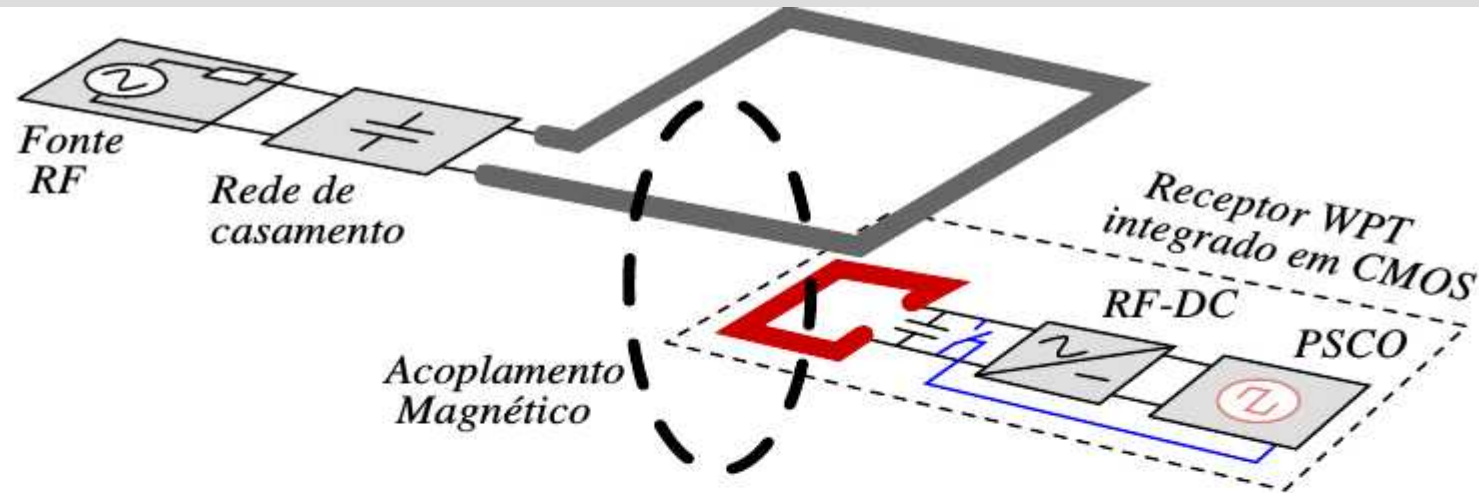


$d_{avg2}$ [mm]	$d_{avg1}$ [mm]	$d$ [mm]	$N$	$C_D$ [pF]	$\eta_{max}$ [%]	$f_{\eta_{max}}$ [MHz]
4	22	15	1	–	30	415
4	22	15	4	1.5	30	980

# Indutor Integrado em Silício



# Sistema de transferência de energia para implantes



$$\eta_T = \frac{\eta_{com}\eta_{RT}}{\frac{1}{k^2 Q_{1r} Q_{2r}} \left( p + 2 + \frac{1}{p} \right) + p + 1} \quad (3)$$

Parte	Receptor				Transmissor	
	$\eta_{com}$	$Q_{2r}$	$\eta_{RT}$	$p$	$k$	$Q_{1r}$
Objetivos						
Variáveis de projeto	<ul style="list-style-type: none"> <li>• Valor fixo: <math>D=0,5</math></li> </ul>	<ul style="list-style-type: none"> <li>• Indutor integrado</li> <li>• Frequência (<math>f</math>)</li> </ul>	<ul style="list-style-type: none"> <li>• Retificador</li> <li>• Carga (<math>R_V</math>)</li> <li>• Potência (<math>P_V</math>)</li> </ul>			<ul style="list-style-type: none"> <li>• Indutor Primário</li> </ul>

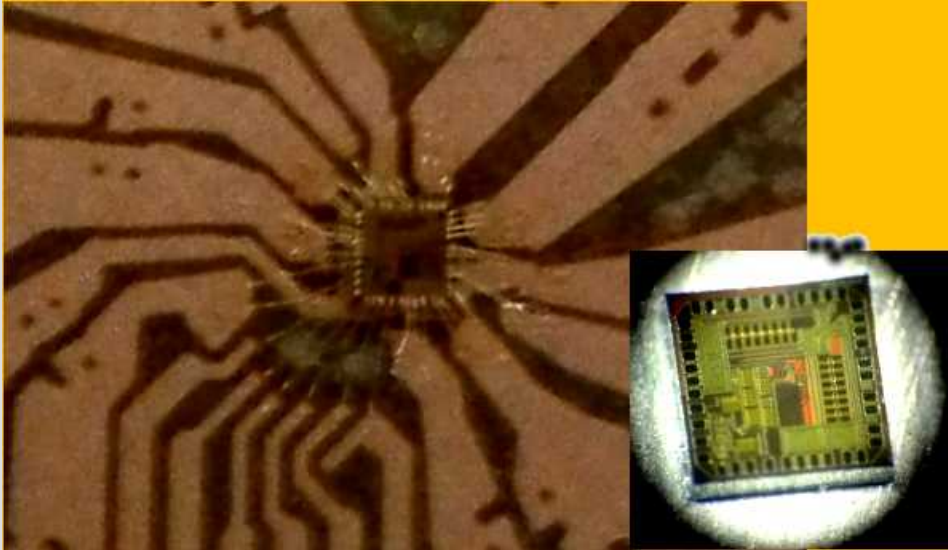
# Caracterização do sistema



$d$ [mm]	$\eta_{max}$ [%]
5	7.71
10	1,02
15	0,29
20	0,07

# Chips projetados para o sistema

**Class-E Power Amplifier**



**Tag - Fully  
Integrated**

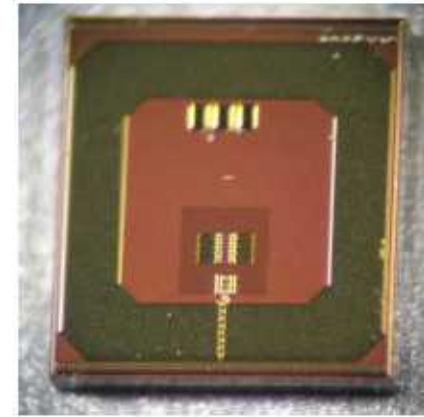
# Future



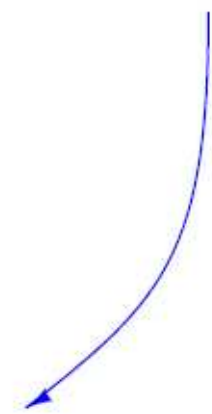
$12 \text{ cm}^3$



$0,75 \text{ cm}^3$



$0,0007 \text{ cm}^3$

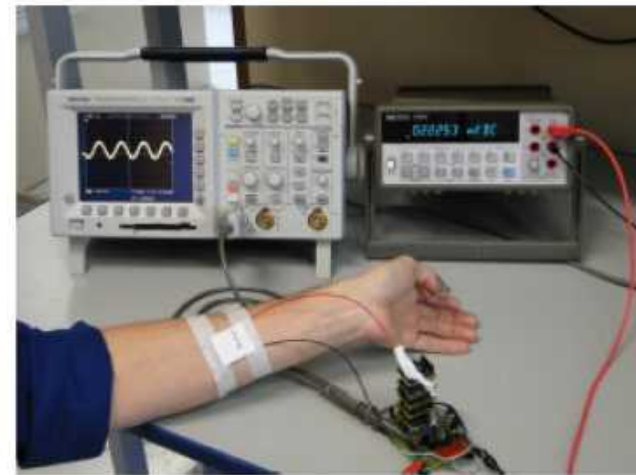
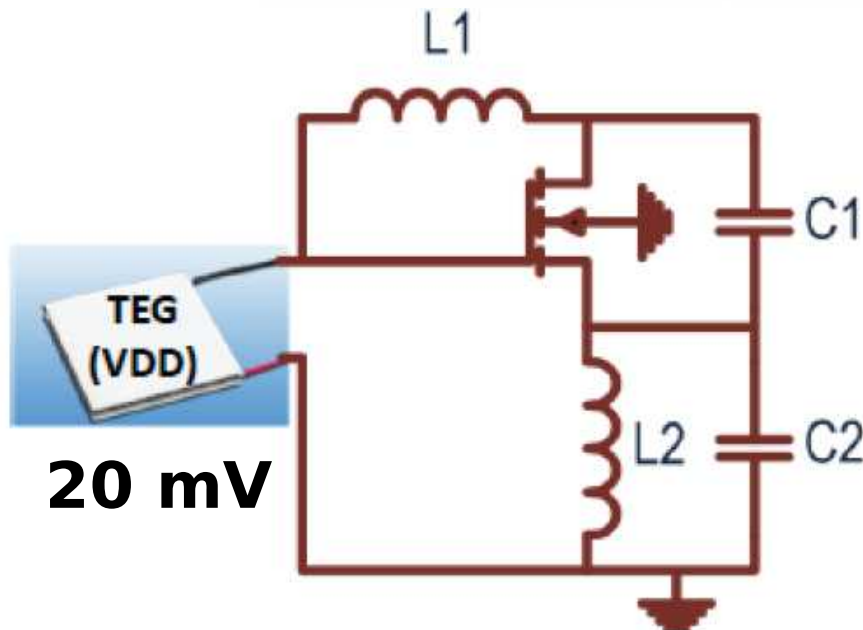
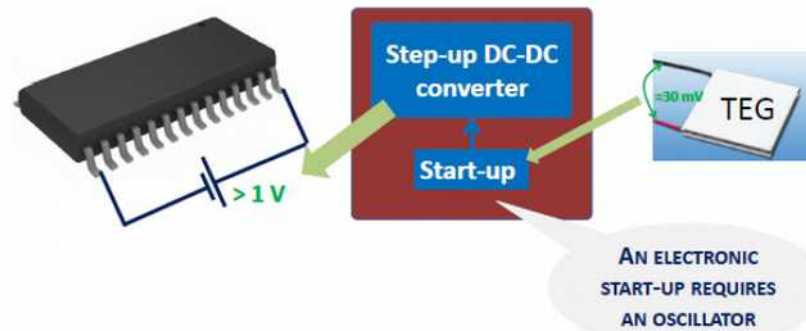


# Outline

---

- **WBAN Review**
- **WBAN Research at UFSC**
  - HBC Channel characterization
  - RF-powered temperature sensor
  - Wireless power transmission to miniaturized implants
  - **Energy harvesting**
  - ISFET for pH and glucose measurement
- **Concluding remarks**

# Thermoelectric energy harvesting



# Outline

---

- **WBAN Review**
- **WBAN Research at UFSC**
  - **HBC Channel characterization**
  - **RF-powered temperature sensor**
  - **Wireless power transmission to miniaturized implants**
  - **Energy harvesting**
  - **ISFET for pH and glucose measurement**
- **Concluding remarks**

# ISFET sensor

## • Partnership with CCS/UNICAMP

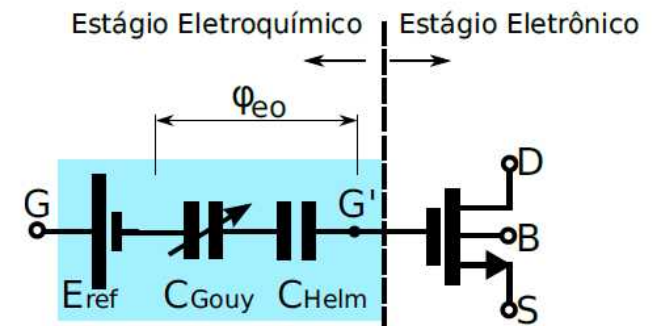
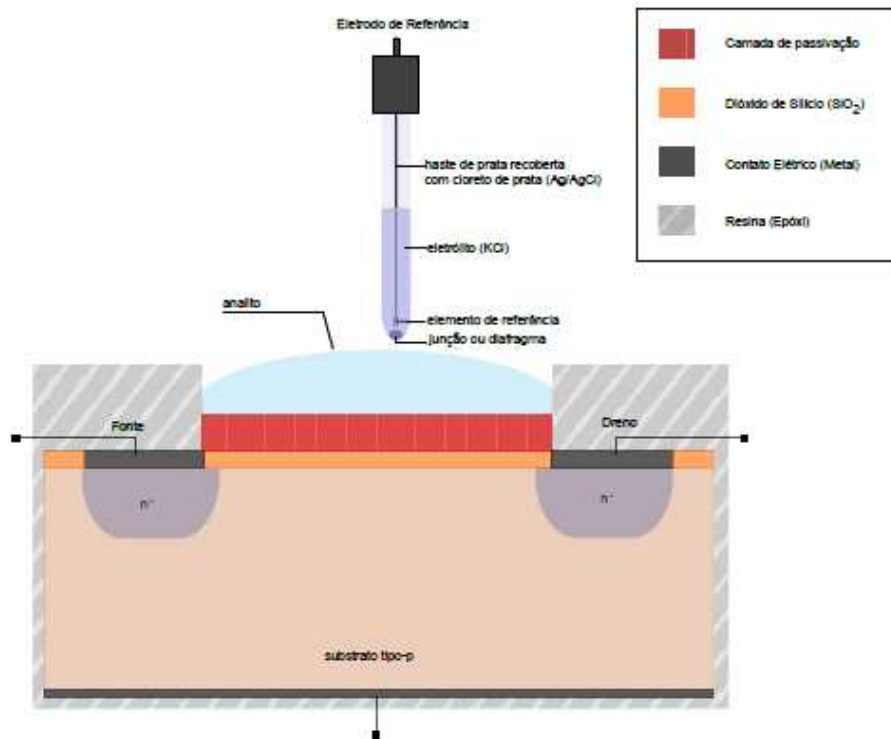
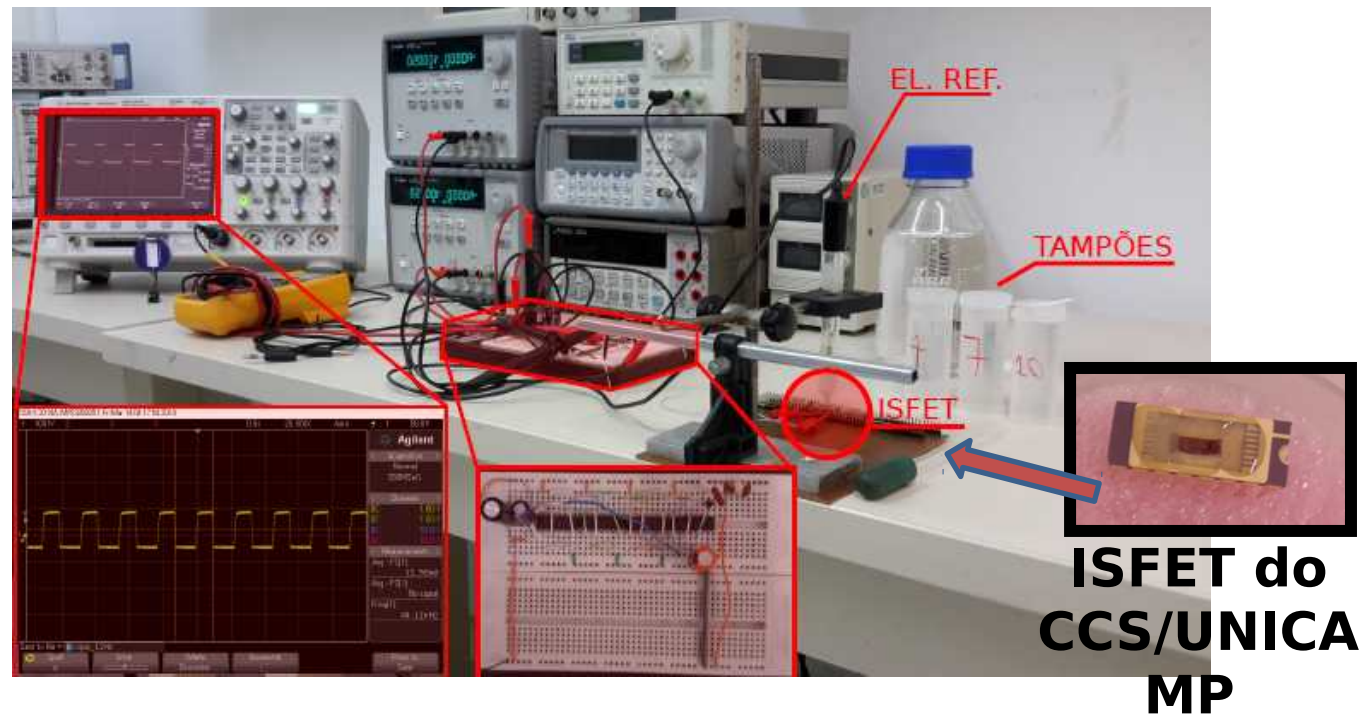
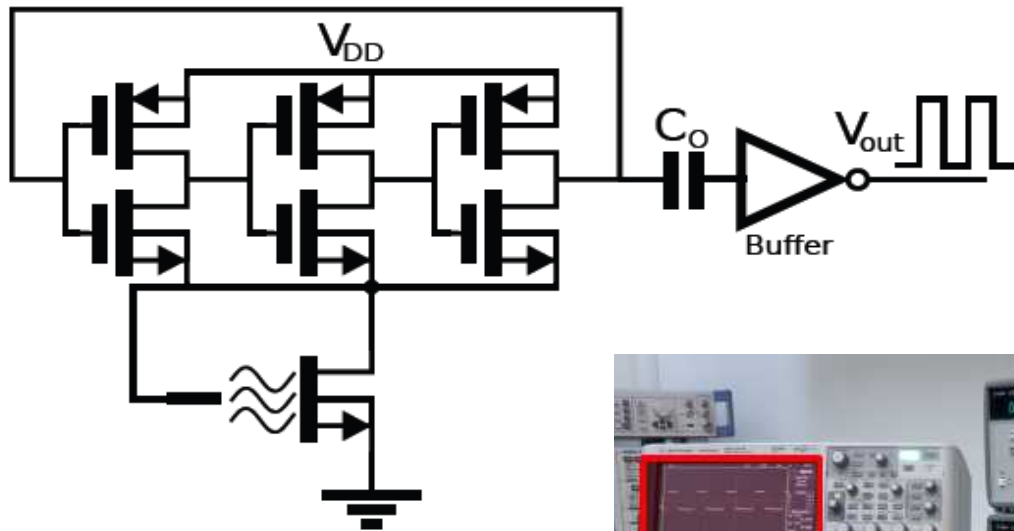


Figura 3: Macro-modelo do ISFET

# PH controlled oscillator – PHCO



# Sensor de permissividade por microondas

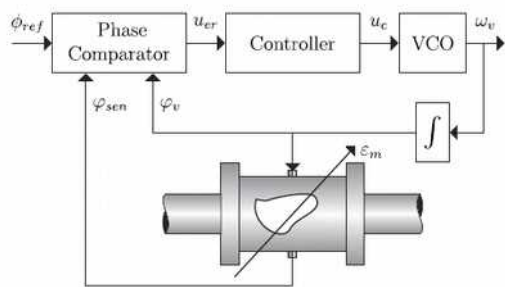


Figura 6.1: Protótipo desenvolvido para experimentos, conectado ao analisador de rede.

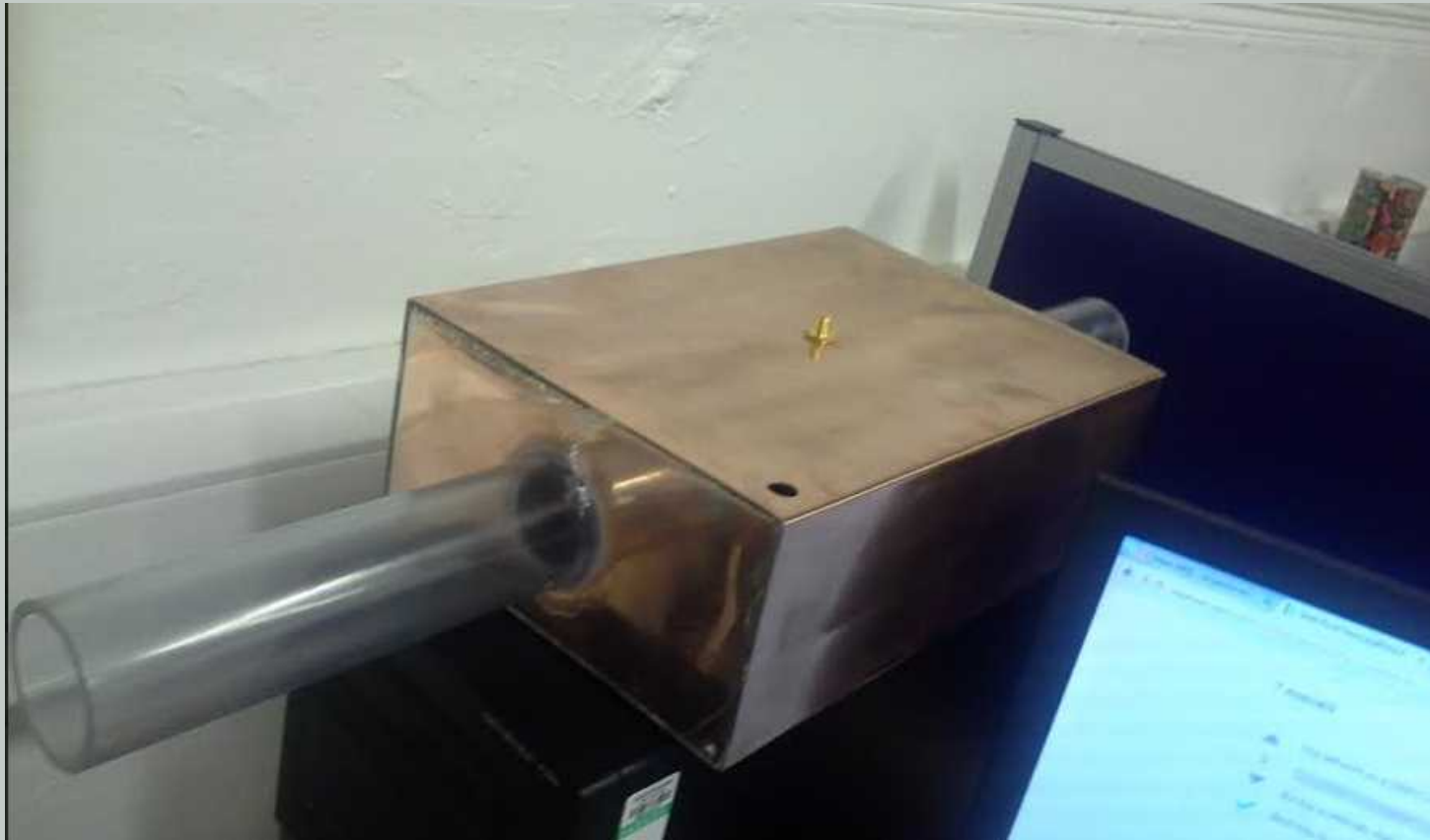


(b)

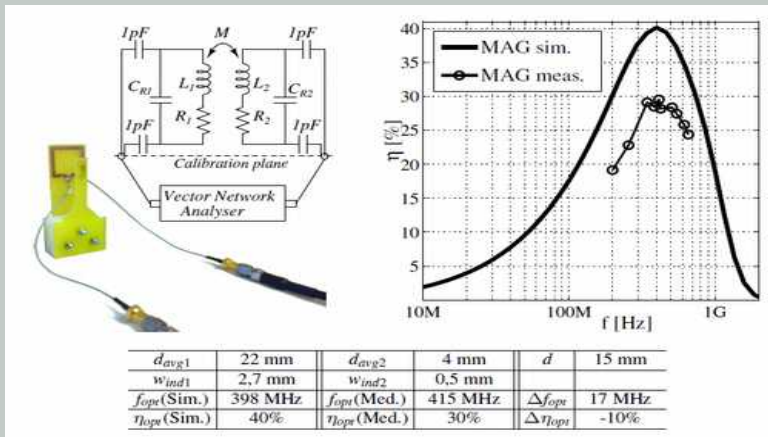
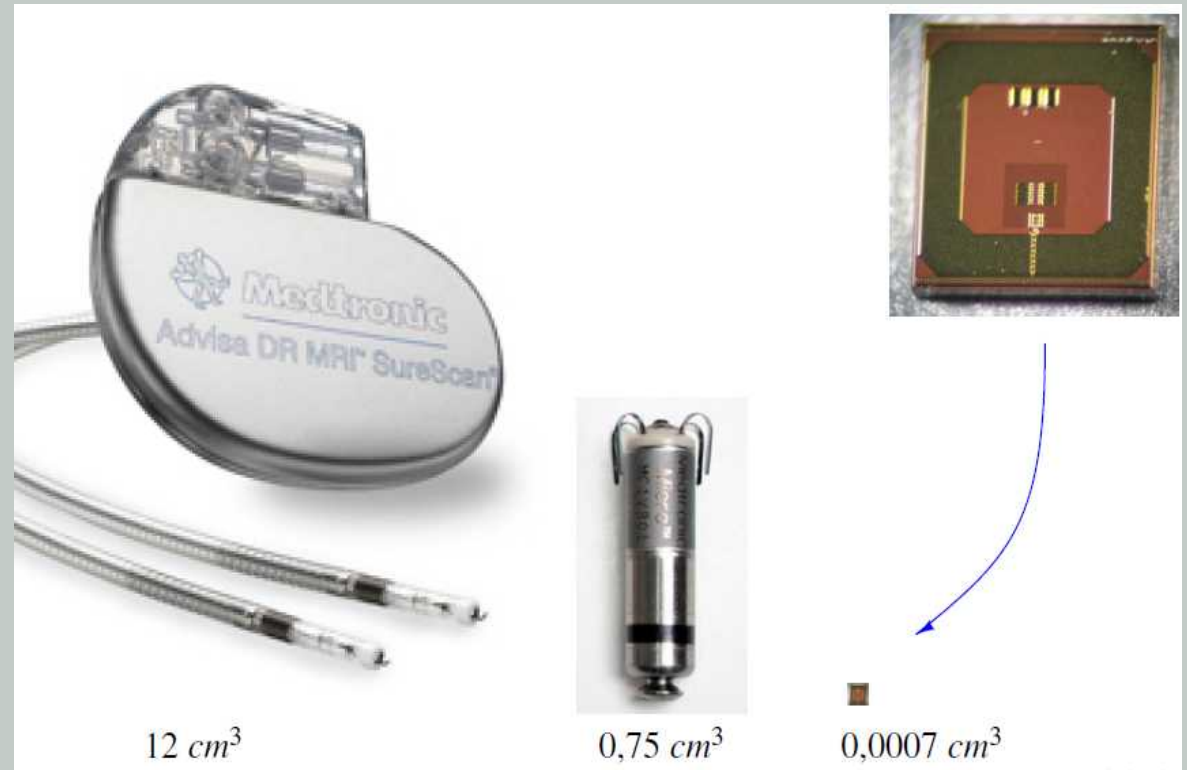
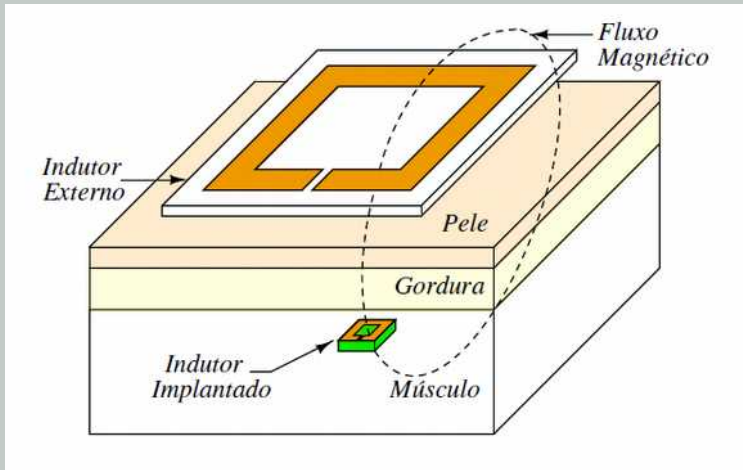
(c)



# Sensor measured

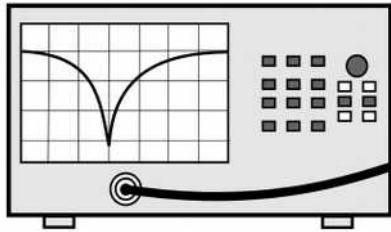


# Chip para alimentar implantes miniaturizados

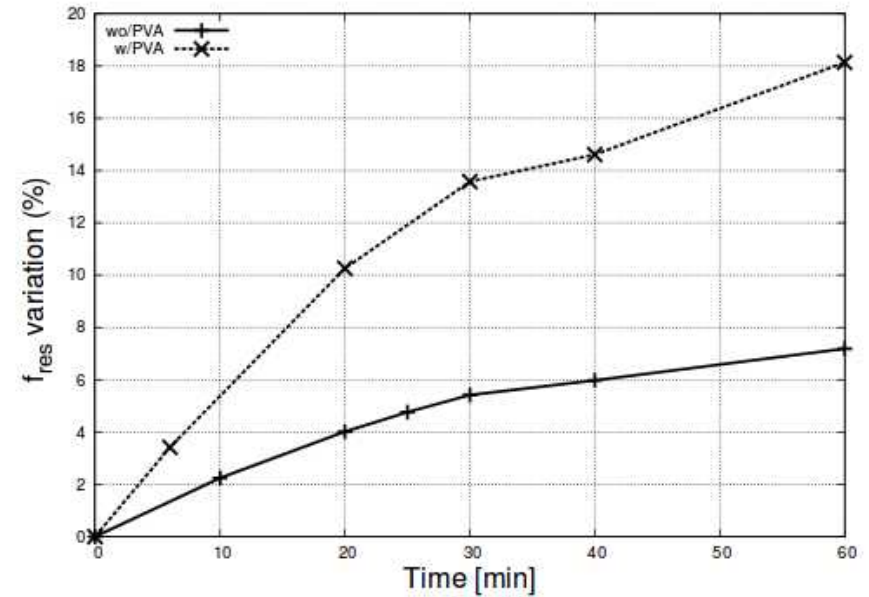
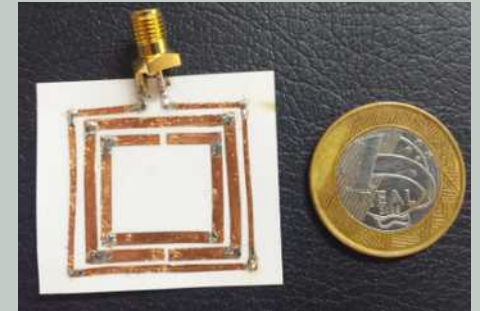
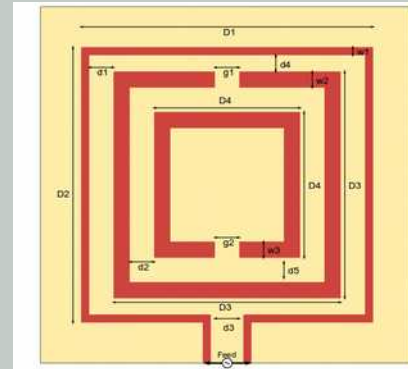
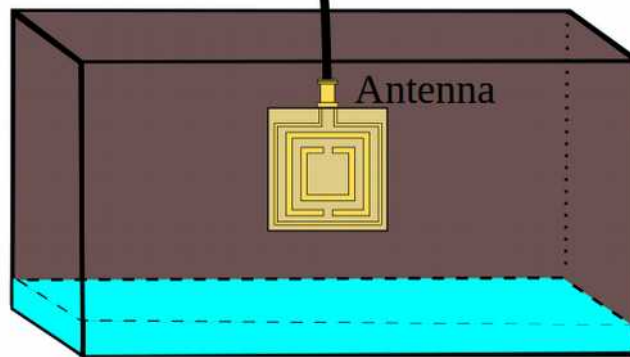


# Sensores em substratos orgânicos

VNA

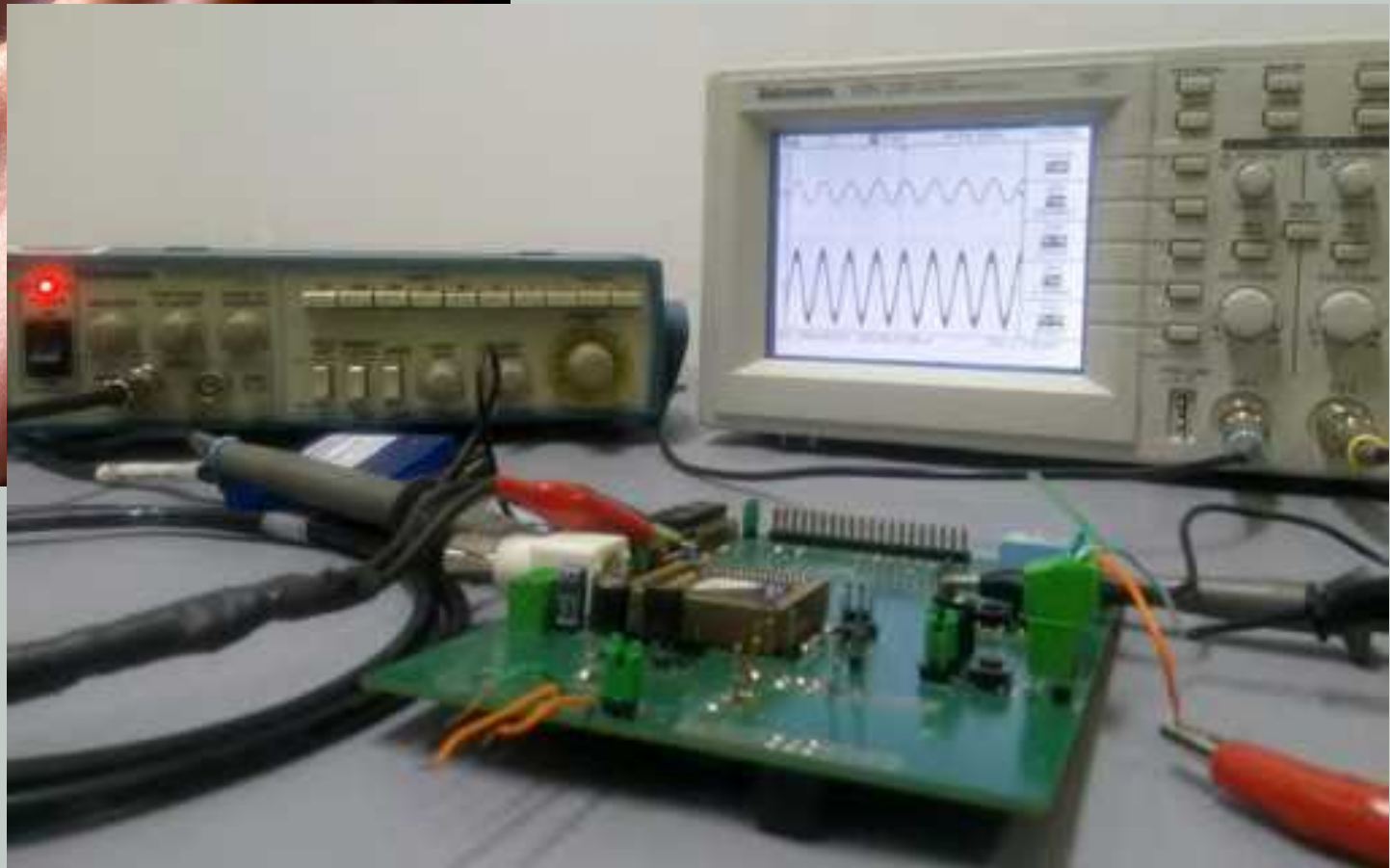
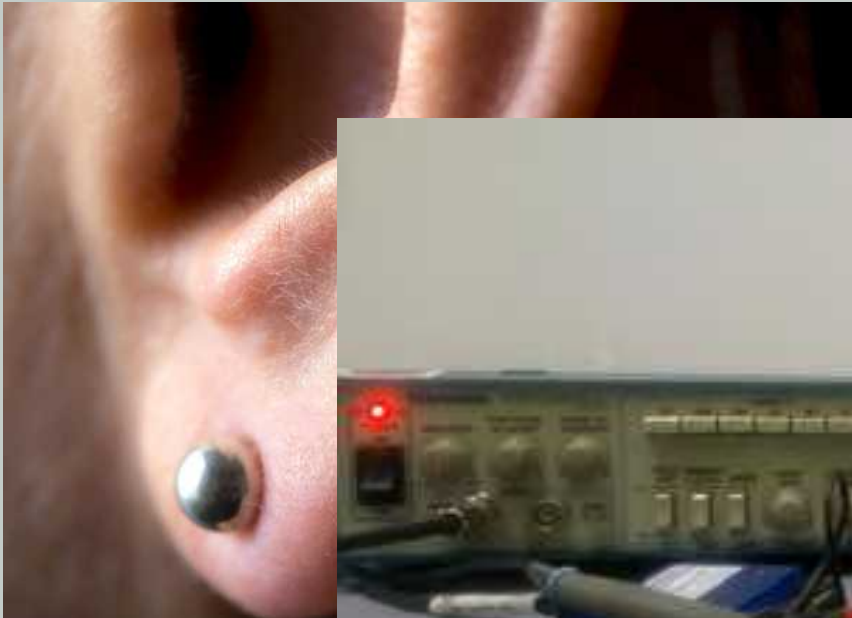


Closed  
container  
with water

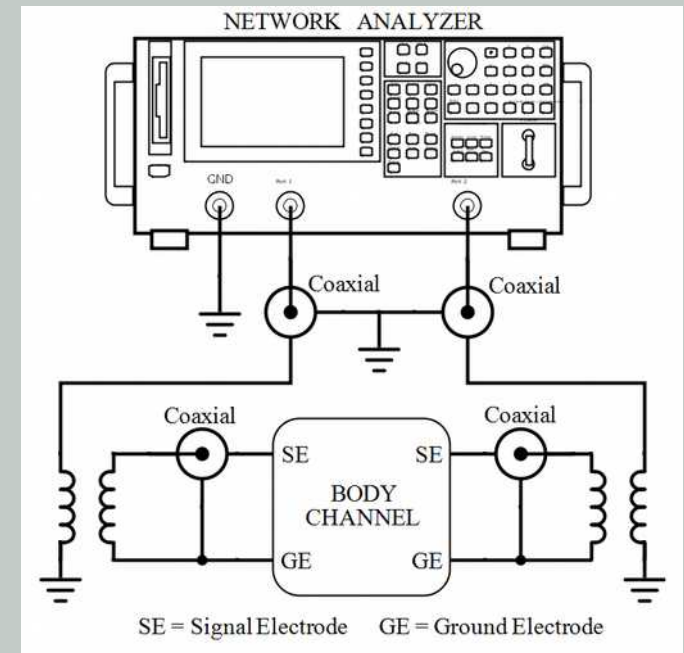
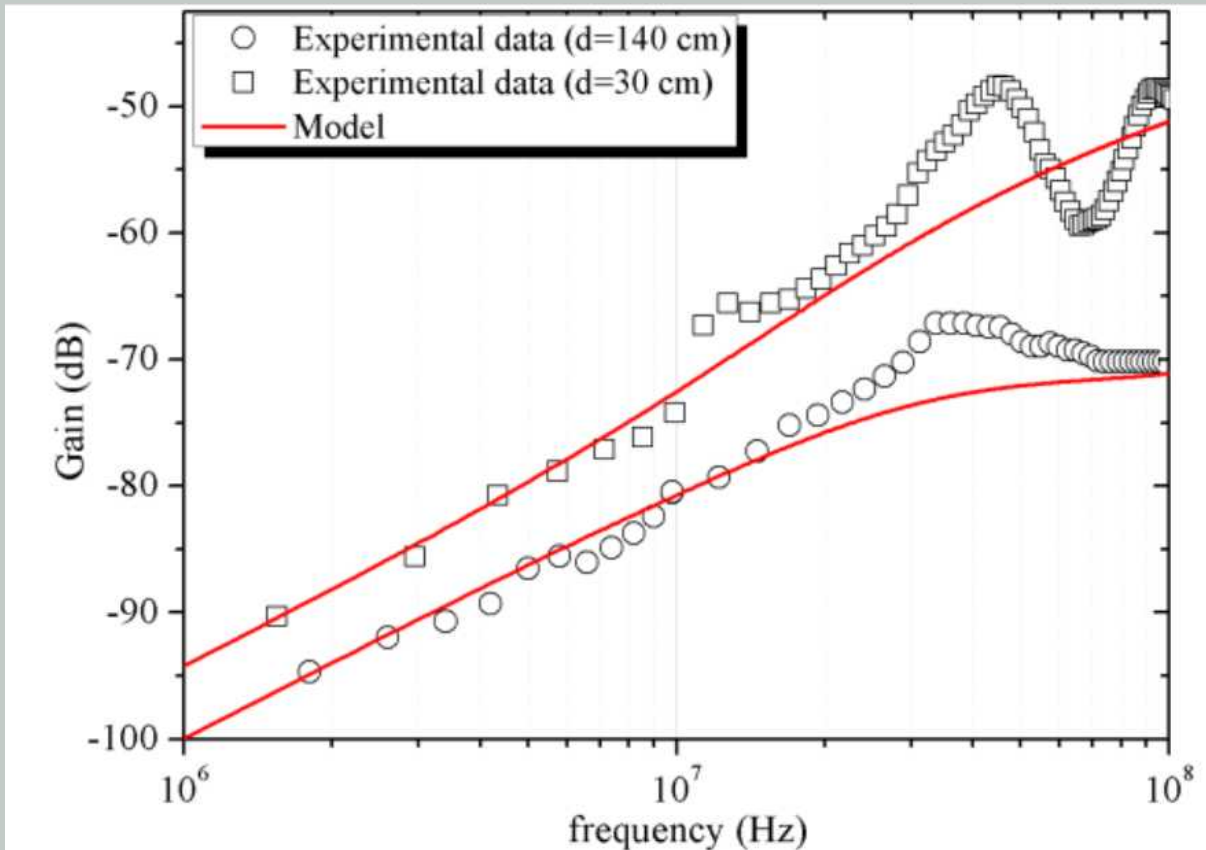


# Chip para aparelhos auditivos

- Parceria com empresas



# Comunicação intra-corporal



Calibration Procedure to Remove the Balun Effects on HBC Channel Measurements

G.A. Álvarez-Botero, Member, IEEE, M. D. Pereira, Member, IEEE, F. R. de Sousa, Senior Member, IEEE,

# Contato

- **Contact:**

- **[rangel@ieee.org](mailto:rangel@ieee.org)**

- **More in :**

- **<http://rfic.ufsc.br>**

